

05.4; 12

© 1990

# НИЗКООМНЫЕ МЕТАЛЛИЧЕСКИЕ КОНТАКТЫ К $Y\text{-Ba}_2\text{-Cu}_3\text{-O}_{7-\delta}$ ПЛЕНКЕ

Ю.Д. Варламов, В.Ф. Врацких,  
 А.С. Золкин, М.Р. Предтеченский,  
 А.Н. Смаль, А.В. Турбин,  
 Ю.Г. Щухов

В настоящее время интенсивно ведутся поиски способом формирования низкоомных металлических контактов к ВТСП материалам с сопротивлением контактной области  $\rho_{\square}$  ниже  $10^{-4}\text{--}10^{-5}$  Ом·см<sup>2</sup> [1]. В работе [2] нанесением серебряной пасты на пленку  $Y\text{-Ba}_2\text{-Cu}_3\text{-O}_{7-\delta}$  ( $YBCO$ ) с последующим отжигом в кислороде при температуре  $T_0 = 1153$  К в течение  $t = 40$  мин получены контакты с  $\rho_{\square} = 3 \cdot 10^{-7}$  Ом·см<sup>2</sup>. Применение такого метода в технологиях микроэлектроники при формировании элементов микронных и субмикронных размеров затруднительно. Кроме того, столь длительный высокотемпературный отжиг пленок ВТСП может приводить к ухудшению критических параметров ВТСП вследствие взаимодействия с подложкой [3].

В данной работе контакты наносились осаждением ионизированным кластеренным пучком (ИКП) подобно [4] и лазерным напылением (ЛН) на сверхпроводящие пленки  $YBCO$ , полученные импульсным лазерным осаждением ВТСП на монокристаллические подложки  $SrTiO_3$  и  $Al_2O_3$  [5]. Особенность методов ИКП и ЛН состоит в том, что напыляемое вещество переносится от источника к поверхности в виде нейтральных и ионизированных ускоренных атомов и кластеров [4, 6]. Высокоэнергетичные частицы способны распылять поверхность, очистить ее от адсорбированных примесей, разрушить деградированный поверхностный слой ВТСП [7]. Благодаря высокой подвижности, миграции осаждаемых частиц на поверхности данные методы позволяют получать металлические пленки с высокой адгезией при относительно низкой температуре поверхности.

В методе ИКП кластеры получались при конденсации в струе пара серебра, расширяющейся через сверхзвуковое сопло в вакуум (диаметр сопла 0.4 мм, давление пара в источнике  $10^2$  Па. Средний размер кластеров измерялся электростатическим анализатором энергий аналогично [4] при указанных условиях истечения и составлял 150 атомов/кластер. На выходе сопла частицы ионизировались электронами с энергией 200 эВ, ускорялись в электрическом поле до энергии 2 кэВ и осаждались на подложки нагретые до температуры  $T'_0$ : 298, 373, 473 К. Скорость осаждения измерялась кварцевыми микровесами и составляла  $5 \cdot 10^{-10}$  м·с<sup>-1</sup>. Расстоя-

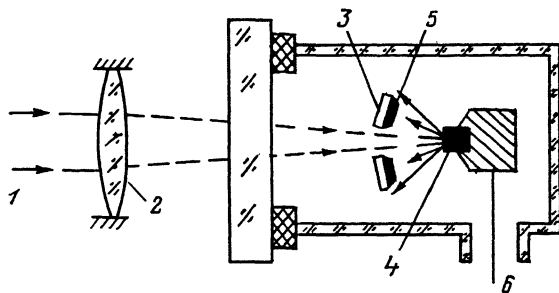


Схема нанесения серебряных контактов на ВТСП пленку :

1 - лазерное излучение; 2 - фокусирующая линза; 3 - подложка ( $Al_2O_3$ ,  $SrTiO_3$ ); 4 - серебряная мишень; 5 - пленка ВТСП; 6 - держатель мишени.

ние от сопла источника до поверхности 80 мм. Схема метода ЛН представлена на рисунке. Для испарения мишени из серебра использовался импульсный лазер ( $\lambda = 1.06 \text{ мкм}$ ,  $E_{\text{имп}} = 50 \text{ мДж}$ ,  $\tau_{\text{имп}} = 15 \text{ нс}$ ). Излучение фокусировалось в пятно диаметром

1.5 мм. Напыление происходило при комнатной температуре подложки. Давление в вакуумной камере составляло  $\sim 5 \text{ Па}$ .

Сопротивление контактов измерялось по стандартной четырехзондовой схеме как сразу после напыления, так и после отжига в течение 8 мин в кислороде при атмосферном давлении. В таблице представлены данные по сопротивлению контактов  $\rho_o$ , полученных методом ИКП, при различных энергиях кластеров  $E_K$  на подложках из сапфира при  $T' = 373 \text{ К}$ . Видно, что сопротивление контактов после напыления и после отжига уменьшается при увеличении энергии ионизированных кластеров. Вероятно, это связано с разрушением, стравливанием деградированного слоя ВТСП пленки, который является одной из основных причин высокого сопротивления контактов, формируемых на ВТСП материалах. Обращает внимание относительно низкая температура отжига  $T_o$  в сравнении с [2].

После отжига образцов при  $T_o = 973 \text{ К}$  в течение 8 мин были получены контакты со значением сопротивления  $\rho_o \leq 2 \cdot 10^{-8} \Omega \cdot \text{см}^2$ , определяемым пороговой чувствительностью регистрирующей аппаратуры. Сопротивление контактов, полученных методом ЛН сразу после напыления без последующего отжига, составило  $\rho_o \sim 10^{-5} \Omega \cdot \text{см}^2$ , что существенно ниже в сравнении с методом ИКП. После отжига при  $T_o = 773 \text{ К}$  сопротивление уменьшилось до  $\rho_o = 10^{-7} \Omega \cdot \text{см}^2$ .

С увеличением энергии осаждаемых частиц серебра улучшились и адгезионные свойства контактов. При этом наилучшую адгезию имели контакты, напыленные методом ИКП при температуре подложки  $T' = 473 \text{ К}$ . С понижением температуры до 300 К адгезионные свойства существенно ухудшились. При лазерном методе адгезия

Зависимость удельного поверхностного сопротивления контактов от энергии частиц серебра

Номер образца	Удельное сопротивление, $\rho_0$ , Ом·см <sup>2</sup>		Энергия кластеров, $E_k$ , кэВ
	После напыления	После отжига $T_o = 673$ К	
1	$4 \cdot 10^{-1}$	$6 \cdot 10^{-2}$	0
2	$1 \cdot 10^{-1}$	$3.4 \cdot 10^{-1}$	0
3	$4 \cdot 10^{-3}$	$8 \cdot 10^{-8}$	2
4	$1 \cdot 10^{-2}$	$2 \cdot 10^{-4}$	2

контактов была удовлетворительной, несмотря на низкую температуру подложки при напылении.

Следует отметить, что для напыления контактов использовались пленки, находящиеся длительно (месяцы) в окружающей атмосфере без предохранения от влаги и подвергавшиеся многократному термоциклированию в интервале температур 300–77 К. Известно [8], что атмосферное воздействие приводит к увеличению деградированного слоя ВТСП материала, однако использованные в данной работе методы формирования контактов позволили получить низкие значения контактного сопротивления. Вероятно, устранение влияния атмосферы, разрушающей сверхпроводимость, позволит получить более низкие значения

В заключение отметим, что низкоомные серебряные контакты к ВТСП пленке  $YBaCuO$  сформированы осаждением высокоэнергетическими ионизированными атомами и кластерами при относительно низкой температуре ВТСП пленки и малых временах отжига. Минимальное измеренное сопротивление контактной области (контакт–пленка ВТСП) составило  $\rho_0 \leq 2 \cdot 10^{-8}$  Ом·см<sup>2</sup>, что соответствует минимальному сопротивлению серебряных контактов, полученных напылением в вакууме на керамические образцы [9]. Полученные низкоомные контакты показывают перспективность использования ионизированных ускоренных частиц для формирования низкоомных контактов к ВТСП материалам при их использовании в микроэлектронике и электротехнике.

Авторы выражают признательность В.Е. Накорякову за полезное обсуждение и поддержку работы и С.И. Кожевникову за помощь в проведении экспериментов.

#### Список литературы

- [1] Ekin J.W., Panson A.J., Wankeenship B.A. // Appl. Phys. Lett. 1988. V. 52. N 4. P. 331–333.

- [2] Tessier L.R., Dai V., Hess N., Deutscher G. // J. Phys. D: Appl. Phys. 1988. V. 21. P. 1652–1653.
- [3] Gurvitch M., Fiory A.T. // Appl. Phys. Lett. 1987. V. 51. N 13. P. 1027–1029.
- [4] Takagi T. // Pure and Appl. Chem. 1988. V. 60. N 5. P. 781–794.
- [5] Варламов Ю.Д., Врацких В.Ф., Предтеченский М.Р., Рыков А.И., Турбин А.В. Письма в ЖТФ. 1988. Т. 14. В. 22. С. 2068–2070.
- [6] Гапонов С.В. // Вестник АН СССР. 1984. № 12. С. 3–10.
- [7] Yamada I., Takaoka H., Inokawa H., Usui H., Cheng C., Takagi T. // Thin Solid Films. 1982. V. 92. P. 137–146.
- [8] Barnes R.L., Landise R.A. // Appl. Phys. Lett. 1987. V. 51. N 17. P. 1373–1375.
- [9] Zend Y., Holt A., Elly R. // Appl. Phys. Lett. 1988. V. 52. N 2. P. 155–156.

Поступило в Редакцию  
7 июля 1989 г.

Письма в ЖТФ, том 16, вып. 6

26 марта 1990 г.

06.3; 07

© 1990

## ОСОБЕННОСТИ АССОЦИАТИВНОГО ОПОЗНАВАНИЯ ОБЪЕКТОВ, ЗАРЕГИСТРИРОВАННЫХ НА ПСЕВДОГЛУБОКОЙ ГОЛОГРАММЕ

Ю.Н. Денисюк, Н.М. Ганжерли

Проблема создания голографической ассоциативной памяти является в настоящее время одним из актуальных направлений развития оптических запоминающих устройств [1–8]. Для этой цели используются двумерные [1, 3, 6, 7], трехмерные [2, 4, 5] и волноводные [8] голограммы. Нами было предложено осуществлять ассоциативные операции с помощью так называемых псевдоглубоких голограмм, которые, занимая промежуточное положение между упомянутыми ранее типами голограмм, имеют ряд практических преимуществ [9–11].

Псевдоглубокая голограмма представляет собою наклонную тонкую голограмму, на которой сагиттальной системой пучков зареги-